

Kapitel 3 Sensordatenverarbeitung

1. Zum Einstieg: Worum geht es?
 2. Sensorik
 3. Sensordatenverarbeitung
 4. Fortbewegung
 5. Lokalisierung in Karte
 6. Kartierung
 7. Navigation
 8. Umgebungsdateninterpretation
 9. Roboterkontrollarchitekturen
- Ausblick

- 3.1 Entfernungsdaten
- 3.2 Bildmerkmale
- 3.3 Stereo & Optischer Fluss

Worum geht es hier?

- Sensordaten sind i.A. fehlerhaft und (zu) viele
- Verfahren zur direkten Daten- und Fehlerreduktion
- Geringer Rechenaufwand Voraussetzung (online-fähig)
 - Rechenintensive Verfahren auf großen/riesengroßen Datensätzen in off-line post-processing (später ab Kap.6)
- im Groben zwei Klassen:
 - **Filter** (primär Fehlerkorrektur):
Werfen bewusst Daten weg!
 - **Merkmalsdetektoren** (primär Datenreduktion):
Aggregieren Daten
- Verwende später (gefilterte) Originaldaten und/oder aggregierte Merkmale
- Hier: Entfernungsdaten (Laserscans), Bilddaten

3.1 Entfernungsdaten

Reduktionsfilter:

Solange für Sequenz von Messwerten a_i, \dots, a_j gilt: $\|a_i - a_j\| \leq \delta \cdot (j - i)$
ersetze a_i, \dots, a_j durch

$$\frac{a_i + \dots + a_j}{j - i + 1}$$

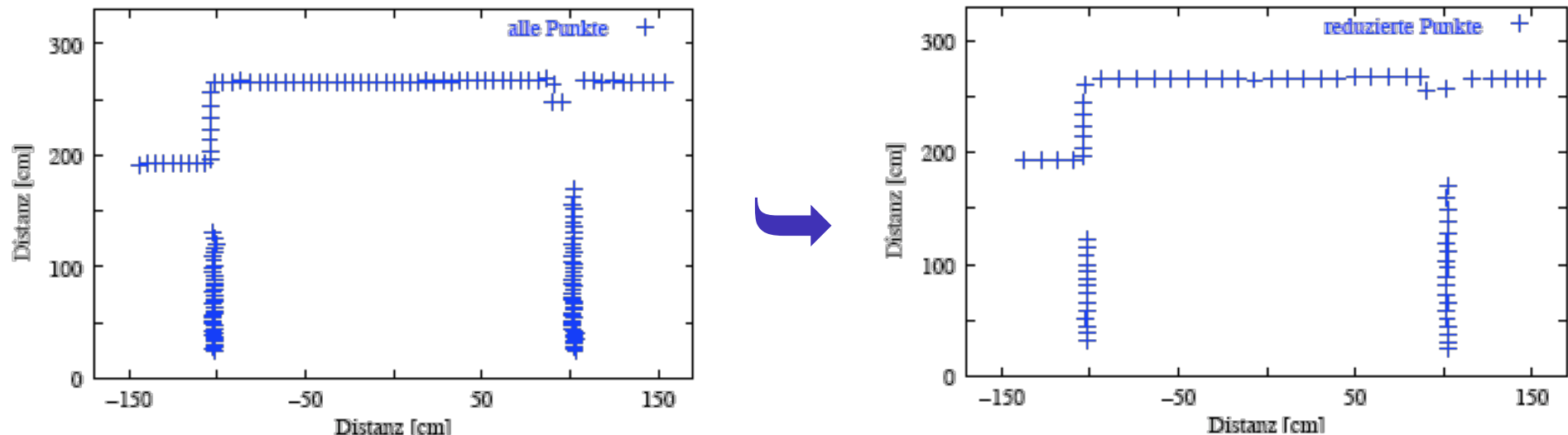
Ersetze eine Schar nah aneinander liegende Messwerte durch ihren Mittelwert

Voraussetzung:

Messwerte geordnet (wie bei Laserscanner), Metrik $\|\cdot\|$ auf Messwerten; δ Schranke (hängt mögl. ab von Punkzahl)

Eigenschaften des Reduktionsfilters

Beispiel



- Falls N Messwerte geordnet vorliegen (Laserscanner!), Zeitkomplexität $O(N)$
- Reduktionsfilter glättet als Nebeneffekt Messwertrauschen
- Ausreißer bleiben erhalten

Medianfilter

Ersetze jeden Messwert durch den Median seiner Umgebung aus k Werten

Medianfilter:

Ersetze für alle i den Wert a_i durch

$$\text{Median}\left(a_{i - k/2}, \dots, a_i, \dots, a_{i + k/2}\right)$$

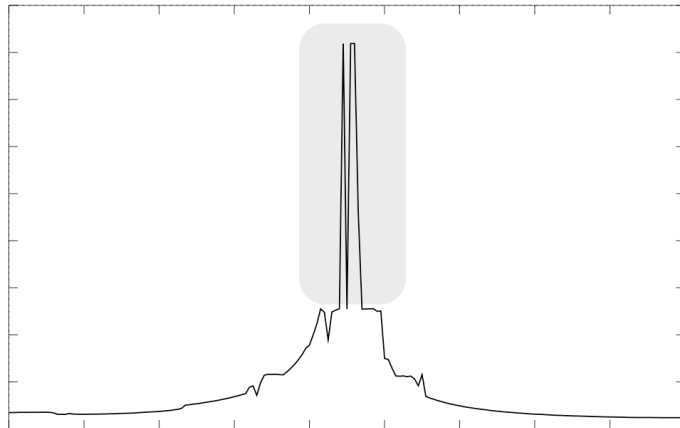
Voraussetzung:

N Messwerte; Metrik auf Messwerten (z.B. Euklidische Distanz)

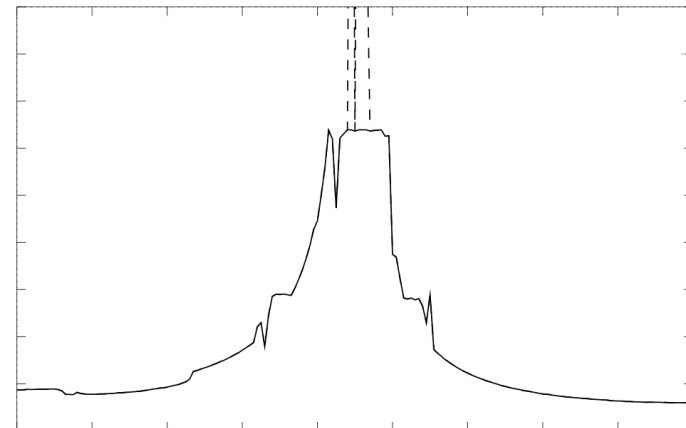
- Für N Messwerte Zeitkomplexität $O(N \cdot k \cdot \log k)$
(wg Sortierung nach Distanz)
- Medianfilter verfälscht „echte“ Sprünge in $< k$ Messwerten!

Beispiel Medianfilter

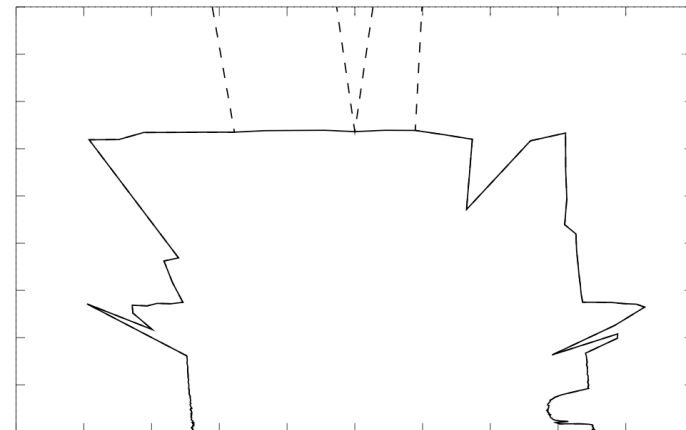
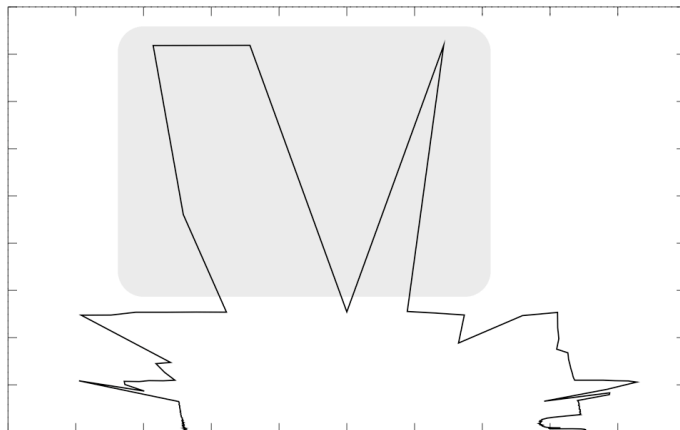
Originaler Laserscan



Scan nach Medianfilterung



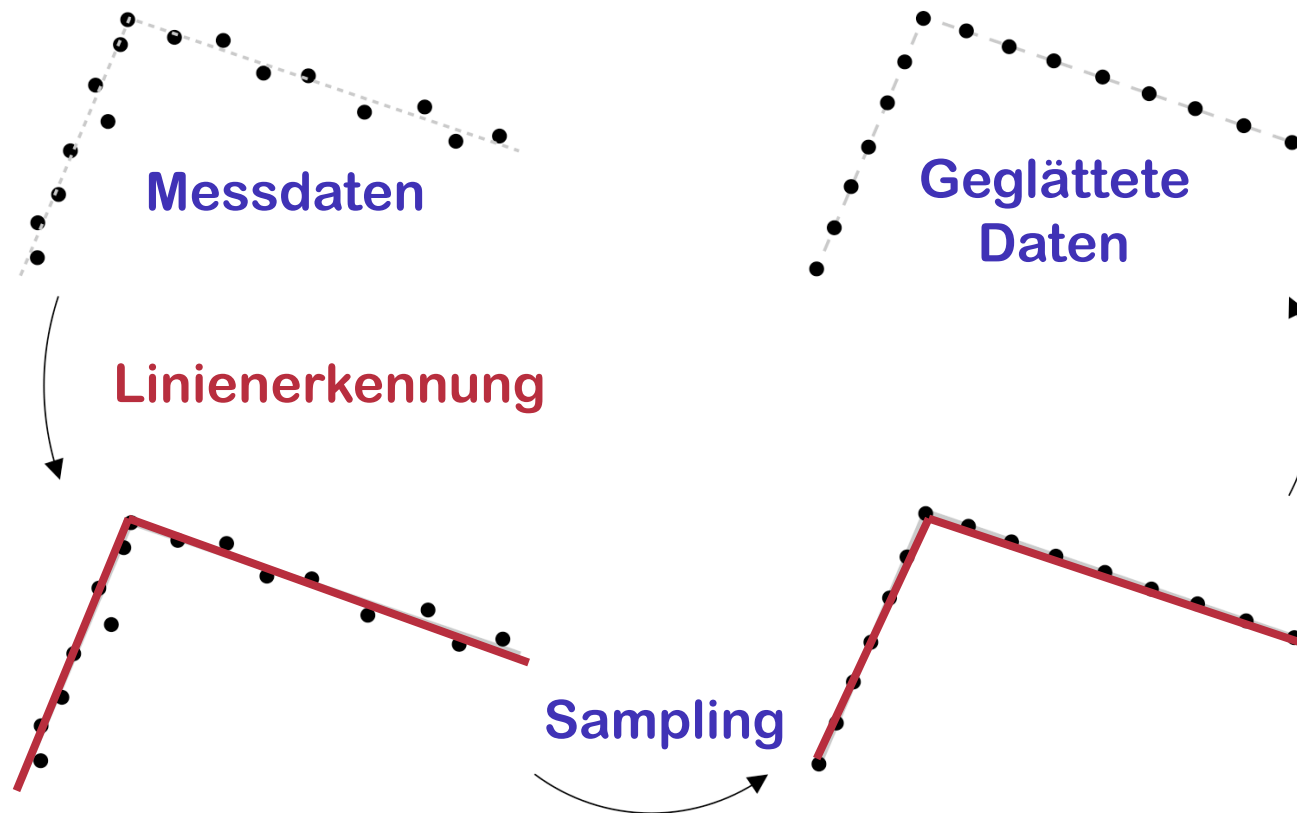
polar



kartesisch

Merkmale auf Entfernungsdaten: Linien

Linien können als Merkmale dienen und außerdem als Rauschfilter verwendet werden!



Linien #1: Online-Linienkonstruktion

Idee für einen online-Linienfinder:

- „online“ in dem Sinn:
Punkte brauchen zu Beginn noch nicht alle vorzuliegen
- Für Punkte eines Scans prüfe in Scanreihenfolge, ob sie mit max. ε Abweichung auf Linie mit Vorgängern liegen
- (wendet man zuvor Reduktionsfilter an, ist Messrauschen reduziert!)
- Wenn ja, verlängere Linie um neuen Punkt;
wenn nein, schließe vorige Linie und mach eine neue auf
- Linie gilt als gefunden, wenn $\geq n$ Punkte auf Linie (z.B. $n=3$)

Lokale Kriterien für Kollinearität

$\|\dots\|$ =eukl. Abstand
 $1 > \varepsilon, \varepsilon(k) > 0$

Sei a_j, \dots, a_k die bisher aktuell konstruierte Linie ...

- Mit neuem Punkt darf Streckensumme nur wenig von Luftlinie abweichen

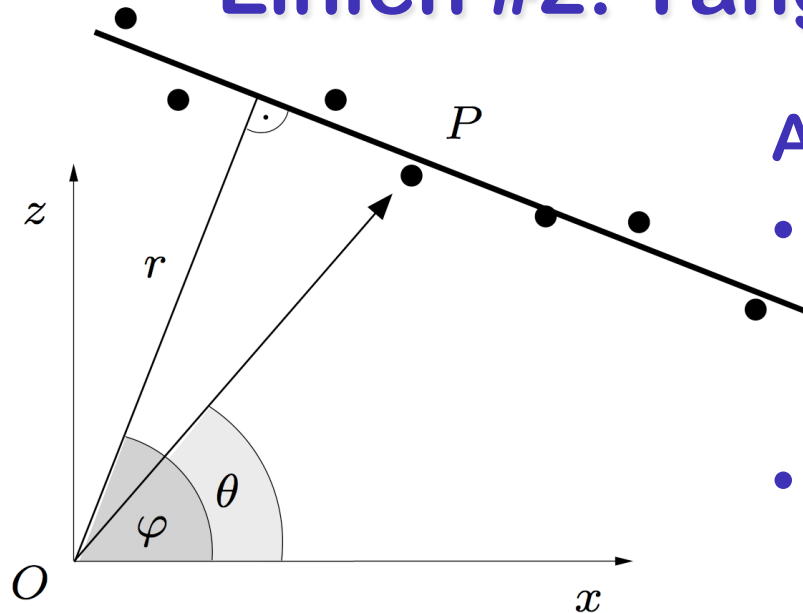
$$\left[1 \geq \right] \frac{\|a_j, a_{k+1}\|}{\sum_{i=j}^k \|a_i, a_{i+1}\|} \geq 1 - \varepsilon(k)$$

- ⊕ „Luftlinien-Argument“ lokal am Ort der Linienenerweiterung (typisch $\varepsilon \approx 0.2$)

$$\left[1 \geq \right] \frac{\|a_{k-1}, a_{k+1}\|}{\|a_{k-1}, a_k\| + \|a_k, a_{k+1}\|} \geq 1 - \varepsilon$$

- ⊕ Direkter Abstand $\|a_k, a_{k+1}\|$ und/oder Abstand $\|a_{k-1}, a_{k+1}\|$ darf festes Maximum nicht überschreiten („Keine Linie durchs Nichts!“)

Linien #2: Tangentiallinien nach Lu/Milios

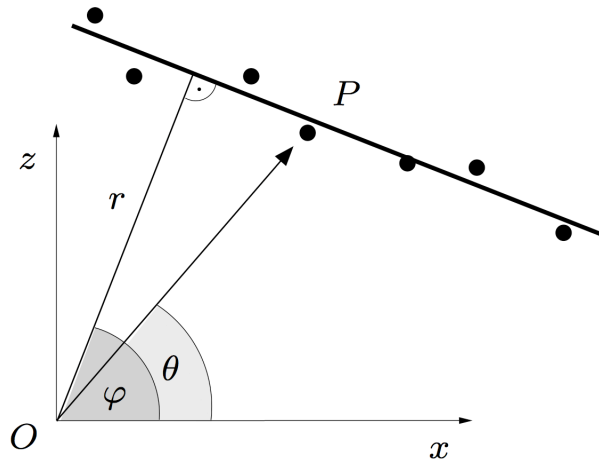


Ausgangslage:

- Für Punkt P unter Winkel θ suche **Regressionsgerade** durch je $(k-1)/2$ Nachbarpunkte rechts und links
- Normalen-Distanz auf die Linie ist r ; $|\theta - \varphi|$ ist Winkeldifferenz zwischen Strecke OP und Normaler

Kriterien:

- $|\theta - \varphi|$ darf Maximalwert nicht überschreiten
(andernfalls „flacher“ Scanwinkel oder Entfernungssprung in Daten)
- Summe der Distanzquadrate zwischen den k Punkten darf Maximalwert nicht überschreiten



Linienlösung nach Lu/Milios

Lemma (Lu/Milios): Die gesuchte Reg.-Gerade ist die, welche folgenden Fehlerterm über die k Nachbarpunkte (x_i, z_i) von P minimiert:

$$E_{\text{fit}}(r, \varphi) = \sum_{i=1}^k (x_i \cos \varphi + z_i \sin \varphi - r)^2$$

Und es existiert eine geschlossene Lösung für $\min_{(r, \varphi)} E_{\text{fit}}$:

$$\varphi = \frac{1}{2} \arctan \frac{-2S_{xz}}{S_{zz} - S_{xx}}$$

$$r = \bar{x} \cos \varphi + \bar{z} \sin \varphi$$

Dabei sind:

$$\begin{aligned} \bar{x} &= \frac{1}{k} \sum_i x_i & \bar{z} &= \frac{1}{k} \sum_i z_i \\ S_{xx} &= \sum_i (x_i - \bar{x})^2 & S_{zz} &= \sum_i (z_i - \bar{z})^2 \\ S_{xz} &= \sum_i (x_i - \bar{x})(z_i - \bar{z}) \end{aligned}$$

und es gilt:
$$\min_{(r, \varphi)} E_{\text{fit}} = \frac{1}{2} \left(S_{xx} + S_{zz} - \sqrt{4S_{xz}^2 + (S_{zz} - S_{xx})^2} \right)$$

Linien #3: Hough-Transformation

sprich: [Haff]

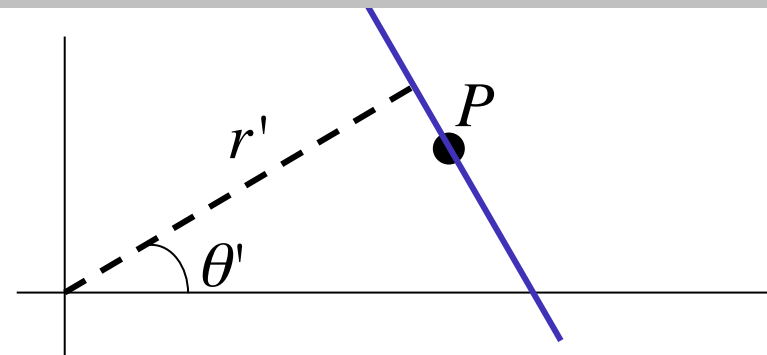
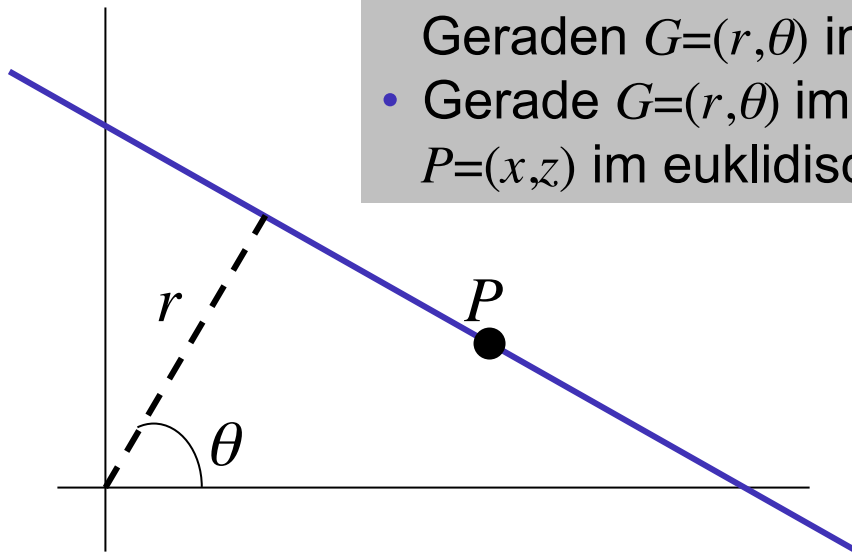
- Parametrisierung von Geraden üblicherweise: $z = mx + b$
(Steigung m , Achsabschnitt b)

- allgemeiner (Vertikalen!) Darstellung im **Hough-Raum**:

$$r = x \cos \theta + z \sin \theta \quad (\text{s. eben bei Lu/Milios!})$$

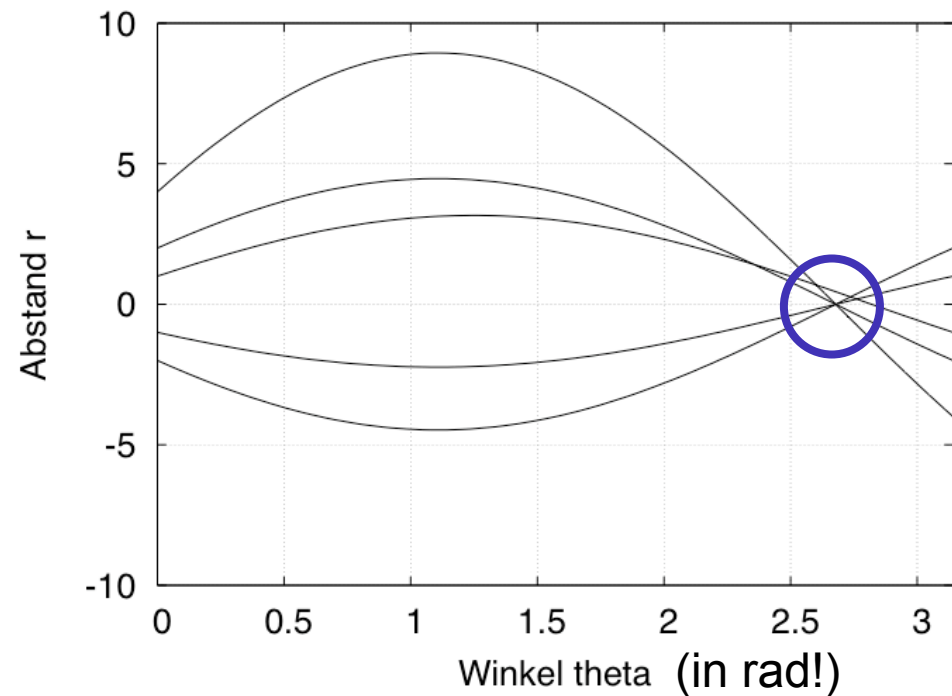
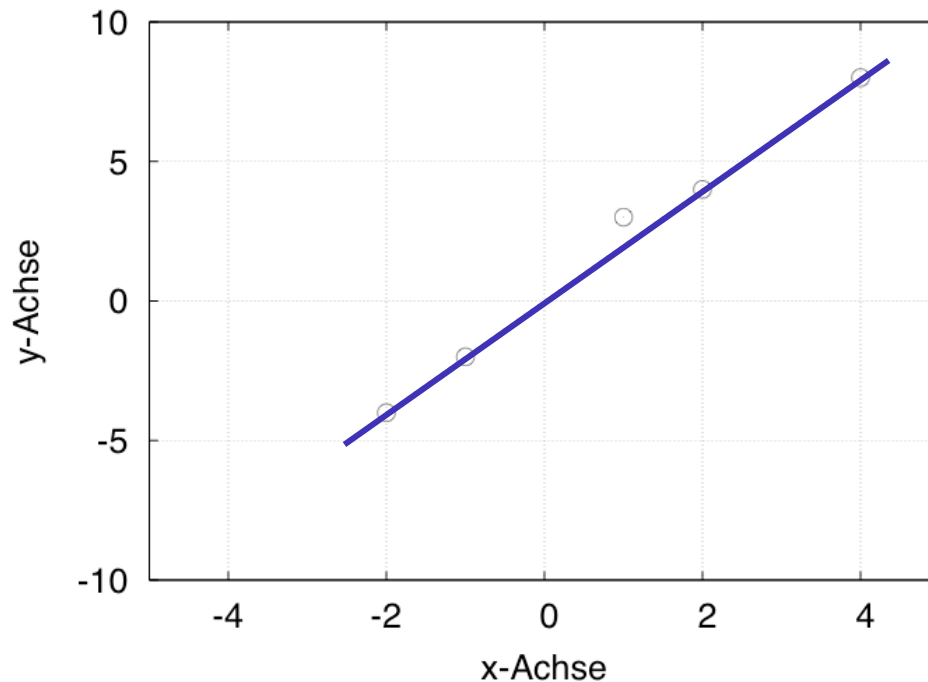
r im Abstand (Normale) der Geraden zum Ursprung,
 θ Winkel zwischen x -Achse und Normaler

- Punkt $P=(x,z)$ im euklidischen Raum repräsentiert alle Geraden $G=(r,\theta)$ im Hough-Raum, die ihn durchlaufen
- Gerade $G=(r,\theta)$ im Hough-Raum repräsentiert alle Punkte $P=(x,z)$ im euklidischen Raum, die auf ihr liegen



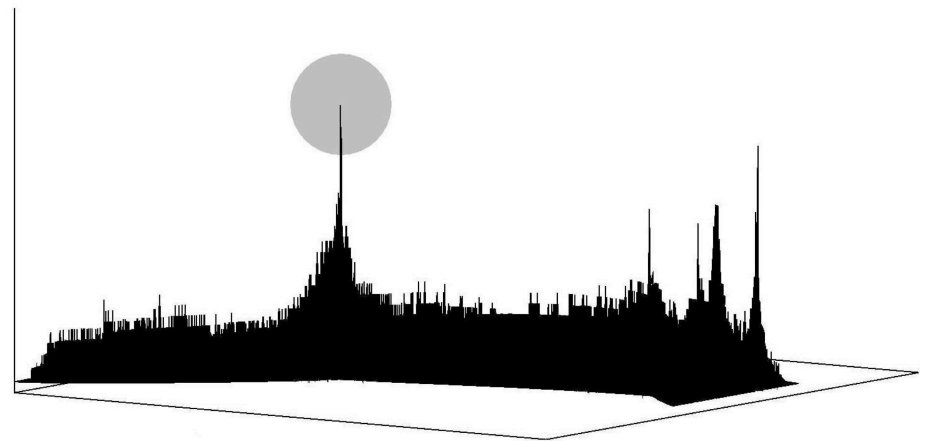
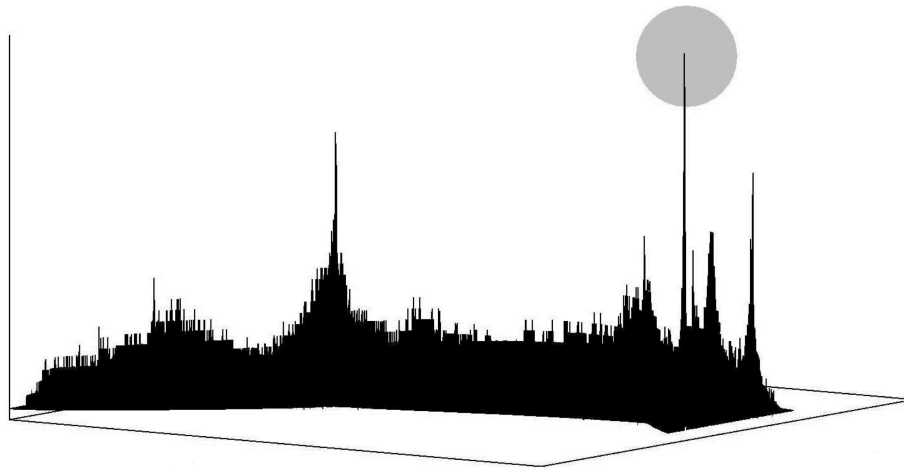
Regressionsgerade und Hough-Raum

- Punkte auf 1 Geraden im Euklidischen schneiden sich in 1 Punkt im Hough-Raum
- „fast kollineare“ Punkte im Euklidischen „schneiden sich fast“ im Hough-Raum

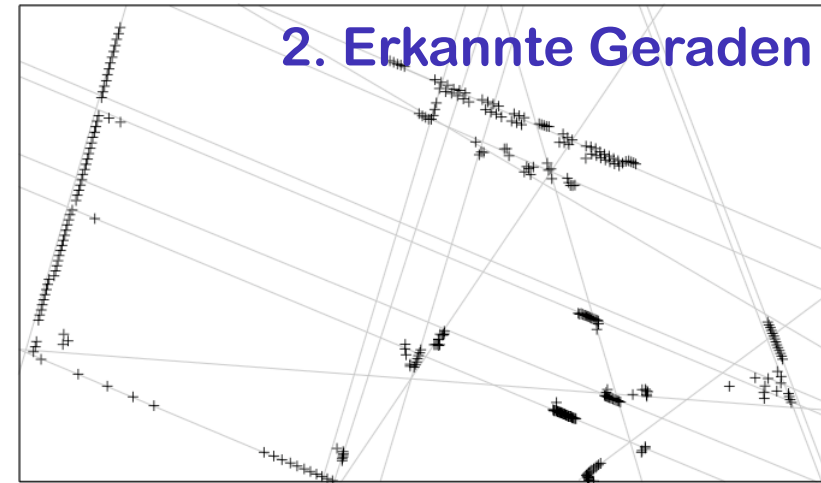
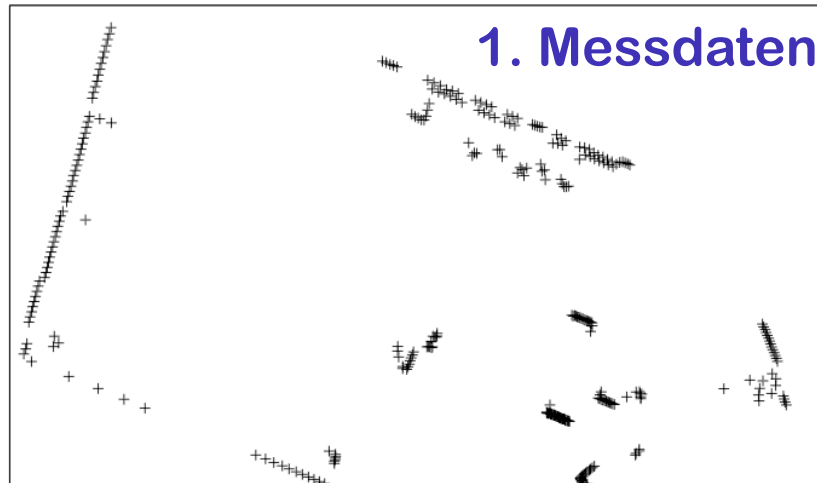


Euklidische Linien im Hough-Raum finden

1. Transformiere alle Messpunkte in den Hough-Raum; zähle für jedes Paar (r_i, θ_j) , wie oft es in der Transformation vorkommt („Akkumulator-Array“)
2. Der höchste/„beste“ (r, θ) -Peak entspricht der „besten“ Geraden im Euklidischen; der zweithöchste (r, θ) -Peak entspricht der „zweitbesten“ Geraden im Euklidischen, ... etc.



Hough-Linienfindergebnisse, Beispiel



Funktioniert entsprechend im n -Dimensionalen (z.B. Ebenen finden)

3.2 Bildmerkmale

- **Kernel** in der Bildverarbeitung: kleine Maske (meist wenige Pixel), die lokal auf alle Pixel des Bildes angewendet wird
- dient der Filterung und/oder Merkmalsextraktion

Die pixelweise Anwendung eines Kernels auf ein Bild heißt **Faltung** (*convolution*) des Bildes.

Für Bild $\mathbf{I}=(I(u,v))$ mit Kernel H der Größe $(\delta_i+1) \times (\delta_j+1)$ (δ_i, δ_j gerade) berechne Faltung $\mathbf{R}=(R(u,v))$ (i,j laufen „um 0“):

$$R(u,v) = \sum_{i=-\delta_i/2}^{+\delta_i/2} \sum_{j=-\delta_j/2}^{+\delta_j/2} H(i,j)I(i+u, j+v) \quad \text{abgekürzt:} \quad \mathbf{R} = \mathbf{H} * \mathbf{I}$$

*** Faltungsoperator**